高动态环境下 GPS 信号跟踪算法综述

王 伟^① 张廷新^② 史平彦^③

(西安空间无线电技术研究所,西安710000)

摘要 本文首先介绍了 GPS 系统的概况,高动态环境及其对 GPS 信号的影响, 然后重点讨论了在高动态环境下信号跟踪的一些算法及其实现框图。 关键词 GPS 高动态环境 算法

1 GPS系统概况

全球定位系统(GPS)是 1973 年由美国国防部提出建立的新一代卫星导航定位系统,于 1993 年全部建成并投入使用,可为用户提供全球性的、全天候的实时定位导航信息。因此无论在军用和民用方面 GPS 系统都具有巨大的应用价值。

GPS 系统主要由三个部分组成,即空间星座部分、地面监控部分和用户接收部分。GPS 系统的空间星座部分由 24 颗卫星组成,其中包括 3 颗备用卫星。地面监控部分由分布在全球的 5 个地面站组成,其中包括卫星监测站、主控站和信息注入站。用户接收部分的主要任务则是接收来自 GPS 卫星的无线电信号,以获得必要的定位信息及观测量,并经数据处理而完成定位任务。

1.1 GPS 卫星信号的结构

GPS 卫星信号为扩频信号。信号中包含有三种分量: 载波、伪随机码和数据码。GPS 的载波使用 L 波段,配有两个载频 L₁ 和 L₂, L₁ 的中心频率为 1575. 42MHz, L₂ 的中心频率为 1227.6MHz。GPS 卫星信号中的伪随机码包括两种:一种是粗测和捕获用的 C/A 码,它的码长为 1023bit,码速率为 1.023MHz,是一种 Gold 码,因此作为扩频用码具有很强的多址工作能力,以区别不同的卫星;另一种是精测用的 P 码,它的码长为 6.19 × 10^{12} bit,码速率为 10.23MHz,但因美国军方对其进行了加密,所以一般用户接受不到。GPS 卫星信号中数据码的码速率为 50Hz,它载有卫星导航电文。

卫星信号在 L₁ 载波上先由数据码和两种伪随机码进行模 2 相加,然后分别以同相和正交方式对载波进行 PSK 调制,其信号结构为:

 $S_{L1}(t) = A_P P_i(t) D_i(t) \cos(\omega_{L1} t + \Phi_1) + A_C C_i(t) D_i(t) \sin(\omega_{L1} t + \Phi_1)$ (1) 在 L₂ 载波上,只有 P 码进行双相 PSK 调制,其信号结构为:

① 硕士在读② 研究员

③ 高级工程师 收稿日期:2000-01-27

$$S_{t2}(t) = A_p P_i(t) D_i(t) \cos(\omega_{L2} t + \Phi_2)$$
 (2)

上面两式中: $A_P \setminus A_C$ 分别为 P 码和 C/A 码的幅度; $P_i(t)$, $C_i(t)$ 分别为精码和粗码; $D_i(t)$ 为数据码; ω_1 , ω_2 , 为载波 L_1 和 L_2 的角频率; Φ_1 , Φ_2 为信号的起始相位。

由上两式可以看出,GPS 卫星信号是先由数据码和伪随机码进行模 2 相加,以完成扩频; 然后对载波进行相移键控(PSK),以完成调制。

1.2 GPS 信号的接收

GPS 接收机在接收 GPS 卫星信号时,先将 L 波段的载频下变频至中频信号,再进行解扩、解调等处理。用户接收机在对中频信号解扩时,是利用改变本机伪随机码产生器的时序,使其与相应卫星的伪随机码时序对准,以对该卫星信号进行跟踪和锁定。这一过程称为相关接收,一般由码延时锁定环(DLL)来完成。在本地伪随机码与卫星信号中的伪随机码一致对准的过程中,可以得到两者的相位差,而此差值正是信号从卫星到接收机的传输时间,用传输时间乘以光速就是卫星到接收机之间的伪距。当我们知道了接收机到 4 颗卫星之间的伪距时,就可完成定位计算。

因为由码延时锁定环(DLL)输出的是数据码调制的 PSK 信号,所以须用载波跟踪环(PLL)来完成载波相位同步,实现解调。当本地载波环路 VCO 与卫星信号载波相位一致时,即可解调出 GPS 导航电文。在 GPS 接收机中一般使用 Costas 环作为载波跟踪环。

2 高动态环境及其对 GPS 信号的影响

在 GPS 的应用中,按照定位目标的速度我们可以将 GPS 接收机分为静态、中低动态和高动态三种。那么什么是高动态呢? 一般定义为定位目标具有较高的速度、加速度和加加速度。按照美国 GPS 测距应用办公室(RAJPO)在 GPS 应用中所遇到的典型临界情况,即某些导弹的上边界条件,最高动态为在 0.5 秒内有 50g 的加速度斜升,即 100g/s 的加加速度。在一般的模拟实例中,人们经常用到两种高动态目标:一种是模拟圆周运动或转弯,此时目标的速度及其各阶导数均为正弦波形,其径向加速度为 50g;另一种是模拟线性加速度,此时目标一直保持 50g 的加速度步长。

高动态环境下接收到的 GPS 信号模型可由下式表示:

$$r(n) = AC[(1+\zeta)nT_s - \xi T_P] \times \cos[(\omega_b + \omega_d)n + \Phi_0] + N(n)$$
(3)

其中A为接收信号的幅度;C(*)是取值为±1,速率为R的伪码信号,相对于GPS系统时间的延迟为 $\tau=\xi T_P$; $\omega_b(=2\pi f_b T_s)$ 和 $\omega_d(=2\pi f_d T_s)$ 分别是相应中频载波频率 f_b 和载波多普勒频率 f_d 的角频率, T_s 为采样间隔; Φ_0 为 n=0 时刻的初始载波相位;N(n) 是双边功率谱密度为 N_0 的中频高斯噪声。由于目标运动而引起的多普勒频移除使信号载波频率产生偏移外,还使伪码延时产生偏移,这时伪码的传输速率 $R=(1+\zeta)R_0$,其中 $\zeta=f_d/f_L$ 伪码延时偏移率。 $(f_1$ 为接收信号的射频频率, R_0 为无多普勒偏移时的伪码传输速率)

上述高动态环境会给 GPS 信号的接收带来许多问题,主要有:(1) 高动态使 GPS 载波产生较大的多普勒频移和频移变化率,若使用一般的载波锁相环,则载波多普勒频移常常会超出锁相环的捕获带,因此不能保证对载波的可靠捕获和跟踪,为此就必须增加环路的带宽,这样

就使得宽带噪声窜入,当噪声电平超过环路工作门限时,也会使载波跟踪失锁,使得 50Hz 的调制数据无法恢复,相应的导航电文无法获取。(2) 高动态也使得 GPS 信号的副载波 一 伪随机码产生动态时延和频移,使得接收机的码延时锁定环容易失锁,从而得不到伪距测量量。而且重新捕获时间加长,使得导航解发散。

3 高动态环境下的跟踪方案及算法

针对高动态环境下 GPS 接收机出现的上述问题,人们提出了一些解决方案:一种方案是给 GPS 接收机提供惯性导航系统的速率辅助(即提供多普勒频移的先验知识),使得 GPS 接收机能可靠工作。目前,已有惯性导航系统+全球定位系统(INS/GPS)的导航机出现。在这种导航机中,惯性导航系统为 GPS 提供速率信息,以适应高动态定位导航;GPS 为惯导系统提供时间标准等信息,以消去惯性陀螺因时间而累积的误差。

另一种方案是研究适合高动态环境下 GPS 信号跟踪的频率估计算法,将算法嵌入接收机的载波环路内,以适应高动态环境下 GPS 信号的接收。显然后者具有体积小、成本低、结构简单等优点。若多普勒频移能实时、准确的估计,则载波环路即能可靠跟踪,也能提供信息使码锁相环路可靠地捕获和跟踪。上述高动态环境下的问题(1)、(2)即可解决。而且随着数字电路的迅速发展,后一方案更显示出其无可比拟的优点。

针对第二种方案,美国喷气推进实验室(JPL)的 S.Hinedi、W.J.Hurd、R.Kumar 等人曾发表了多篇有关高动态、低信噪比环境下 GPS 信号跟踪算法的文章,主要涉及到的算法有:最大似然估计(MLE)、扩展卡尔曼滤波(EKF)、自动频率控制环(AFC)、自适应最小均方法(ALS)等。下面分别予以介绍:

3.1 最大似然估计(MLE)

该算法的主要思想是在延时 τ 及多普勒频移 ω_a 构成的二维坐标平面上求似然函数的最大值。以此来估计时延 τ 、多普勒频移 ω_a 。

具体细节如下,在实际中我们接收到的信号表示为:

$$r(t) = s(t) + n(t)$$
其中:
$$s(t) = \text{Re}\{s(t)\sqrt{2}\exp(j\omega_0 t)\}$$

$$s(t) = AP(t - \tau)\exp[j(\omega_0 t + \theta)]$$

$$n(t) = Re\{n(t)\sqrt{2}\exp(i\omega_0 t)\}$$
(4)

而 n(t)为窄带高斯噪声的复包络; τ 为传输延时; ω_a 为多普勒频移; $P(t-\tau)$ 是伪码; θ 为信号的相位; ω_0 为载波相位; A 为信号幅度。

针对 r(t)中的可变参数 $(A \setminus \theta \setminus \tau \setminus \omega_d)$,我们在一个观察时间 T 内求得最大似然函数为:

$$L(\tau,\omega_d) = \frac{1}{N_0} \left| \int_{-\frac{T}{2}}^{\frac{T}{2}} \tilde{r}(t) P(t-\tau) \exp(-j\omega_d t) dt \right|^2$$
 (5)

式中 N_0 是决定估计器效率的一个常参数,其它参数意义同上。

显然由表达式可以看出:最大似然函数 $L(\tau_{\lambda}\omega_{d})$ 为在二维坐标 $(\tau_{\lambda}\omega_{d})$ 构成的平面上的一

个函数,它可以由在 $(\tau_{\setminus}\omega_a)$ 平面上同时求码相关及傅立叶变换来实现。在 $(\tau_{\setminus}\omega_a)$ 平面上求似然函数 $L(\tau_{\setminus}\omega_a)$ 的最大值所对应的 $\tau_{\setminus}\omega_a$,即完成了对延时 τ_{\setminus} 多普勒频移 ω_a 估计。

1993 年加拿大的 W. Zhuang 在 IEEE AES 上发表文章,提出了对该算法的改进。他将似然函数表达为下面的形式:

$$L(\xi, \omega_d) = \frac{1}{N_0} |\sum_{n=0}^{N-1} r(n)C[(1+\zeta)nT_s - \xi T_P] \exp[j(\omega_b + \omega_d)n]|^2$$

$$= \frac{1}{N_0} |\sum_{n=0}^{N-1} r(n)C[(1+\zeta)nT_s - \xi T_P] \times \cos[(\omega_b + \omega_d)n]|^2$$

$$+ \frac{1}{N_0} |\sum_{n=0}^{N-1} r(n)C[(1+\zeta)nT_s - \xi T_P] \times \sin[(\omega_b + \omega_d)n]|^2$$
(6)

式中符号含义同(3)式和(4)式。他认为输入信号参数 $\xi_{\setminus \omega_d}$ 的估计值可以通过输入信号的采样值 r(n)与本地信号的同相和正交分量的非协同相关得到。本地同相信号为:

$$C[(1+\overset{\Lambda}{\zeta})nT_s - \overset{\Lambda}{\xi}T_b]\cos[(\omega_b + \overset{\Lambda}{\omega_d})n]$$
 (7)

本地正交信号为:

$$C[(1+\overset{\Lambda}{\zeta})nT_s - \overset{\Lambda}{\xi}T_p]\sin[(\omega_b + \overset{\Lambda}{\omega_d})n]$$
 (8)

用 ${}_{\zeta}^{\Lambda}T_{P}$ 和 ω_{u} 在各自范围内扫描,直到 $L(\xi,\omega_{u})$ 出现最大值。而似然函数的最大值所对应的 ξT_{P} 、 ω_{u} 即为延时和多普勒频移。

上述算法在获得了延时 τ 、多普勒频移 ω_a 的估计值后,即可通过滤波调整本地伪码发生器和载波 VCO 来完成接收信号的跟踪,实现解扩和解调。该算法估计精度高,但比较复杂,适用于超高动态目标的跟踪。

3.2 扩展卡尔曼滤波(EKF)

扩展卡尔曼滤波是一种非最佳估计器。它的具体算法如下: 设接收到的信号为:

$$\vec{r}(k) = \begin{bmatrix} r_I(k) \\ r_O(k) \end{bmatrix} = \begin{bmatrix} A\sin(\theta(k)) \\ A\cos(\theta(k)) \end{bmatrix} + \vec{n}(k)$$
(9)

这里我们已经对输入信号采取了同相和正交采样处理。k 为离散时间、 $\theta(k)$ 为接收信号的相位、A 为接收信号的幅度、 $\overset{\rightarrow}{n^T}(k) = [n_I(k), n_O(k)]$ 为零均值高斯噪声矢量。

对上式我们可以列出扩展卡尔曼滤波的状态方程:

$$\theta(k) = I^T X(k) \tag{10}$$

$$X(k+1) = \Phi X(k) + v(k)$$
 (11)

其中 $I^T = [1,0,\cdots,0]; \Phi$ 为传输矩阵; v(k) 为策动噪声矢量, 它是由目标的动态而引起的随机噪声; X(k) 为状态矢量, 对一个四阶扩展卡尔曼滤波其状态矢量可设为:

$$X^{T}(k) = [\theta(k), \omega_{0}(k), \omega_{1}(k), \omega_{2}(k)]$$
(12)

式中 $\omega_0(k)$, $\omega_1(k)$, $\omega_2(k)$ 分别为 $\theta(k)$ 的各阶导数,其能准确的反映出高动态环境。对 $\theta(k)$, $\omega_0(k)$, $\omega_1(k)$, $\omega_2(k)$ 进行泰勒展开并代人(10)、(11)式可得:

$$\Phi = \begin{bmatrix}
1 & T_s & T_s^2/2 & T_s^3/6 \\
0 & 1 & T_s & T_s^2/2 \\
0 & 0 & 1 & T_s \\
0 & 0 & 0 & 1
\end{bmatrix}$$
(13)

$$Q = \frac{N_{y}}{2} T_{s} \begin{bmatrix} T_{s}^{6}/252 & T_{s}^{5}/72 & T_{s}^{4}/30 & T_{s}^{3}/24 \\ T_{s}^{5}/72 & T_{s}^{4}/20 & T_{s}^{3}/8 & T_{s}^{2}/6 \\ T_{s}^{4}/30 & T_{s}^{3}/8 & T_{s}^{2}/3 & T_{s}/2 \\ T_{s}^{3}/24 & T_{s}^{2}/6 & T_{s}/2 & 1 \end{bmatrix}$$
(14)

上式中的 Q 矩阵为策动噪声矢量v(k)的协方差矩阵。而扩展卡尔曼滤波的观察方程即为式(9),再写如下:

$$Z(k) = \stackrel{\rightarrow}{h} [X(k)] + \stackrel{\rightarrow}{n} (k) = \begin{bmatrix} A\sin\theta(k) \\ A\cos\theta(k) \end{bmatrix} + \begin{bmatrix} n_I(k) \\ n_O(k) \end{bmatrix}$$
 (15)

式中的n(k)为测量噪声矢量,在扩展卡尔曼滤波中设为白序列,其协方差矩阵为R。将上述代入扩展卡尔曼滤波公式:

$$\overset{\Lambda}{X}(k/k) = \overset{\Lambda}{X}(k/k-1) + L(k)[\vec{r}(k) - \vec{h}(\overset{\Lambda}{X}(k/k-1))]$$
 (16)

$$\hat{X}(k+1/k) = \Phi \hat{X}(k/k) \tag{17}$$

$$\Omega(k) = H^{T}(k)P(k/k-1)H(k) + R \tag{18}$$

$$L(k) = P(k/k - 1)H(k)\Omega^{-1}(k)$$
(19)

$$P(k/k) = P(k/k-1) - P(k/k-1)H(k)\Omega^{-1}(k)H^{T}(k)P(k/k)$$
 (20)

$$P(k+1/k) = \alpha^2 \Phi P(k/k) \Phi^T + Q$$
 (21)

这里 α 是一个大于1的权系数,它决定着扩展卡尔曼滤波的收敛性。

式中:
$$H^{T}(k) = \frac{\partial \overrightarrow{h}(X)}{\partial X} (X) \mid_{X = X(k/k-1)}; \quad \overrightarrow{h}[X(k)] = \begin{bmatrix} \sin[I^{T}X(k)] \\ \cos[I^{T}X(k)] \end{bmatrix}$$
 (22)

对上述扩展卡尔曼滤波公式进行循环运算,即可得到对 $\theta(k)$, $\omega_0(k)$, $\omega_1(k)$, $\omega_2(k)$ 的估计值。用此估计值经滤波后可调整载波 VCO 以完成载波跟踪。该算法估计精度高,但结构复杂。

3.3 自动频率控制环(AFC)

自动频率控制环(AFC)在实际中使用的有三种环:交叉积 AFC(CPAFC)、交叠离散傅立叶变换 AFC(ODAFC)和频率扩展卡尔曼滤波(EFKF)。下面分别予以介绍:

(1) 交叉积 AFC(CPAFC)

设接收到的信号如 3.2 节中的已采样信号:

$$\vec{r}(k) = \begin{bmatrix} r_I(k) \\ r_O(k) \end{bmatrix} = \begin{bmatrix} I(k) \\ Q(k) \end{bmatrix} + \begin{bmatrix} n_I(k) \\ n_O(k) \end{bmatrix} = \begin{bmatrix} A\sin\theta(k) \\ B\cos\theta(k) \end{bmatrix} + \begin{bmatrix} n_I(k) \\ n_O(k) \end{bmatrix}$$
(23)

这里 I(k), Q(k) 为信号的同相和正交分量, $n_I(k)$ 、 $n_Q(k)$ 为零均值高斯噪声矢量 n(k) 的同相和正交分量。其它参数意义同 3.2 节。

对同相和正交信号进行叉积并经低通滤波可得:

$$V(k) = I(k-1)Q(k) - Q(k-1)I(k) = -A^{2}\sin[\Delta\theta(k)]$$
 (24)

其中 $\Delta\theta(k) = \theta(k) - \theta(k-1)$,它能反映出频率变化的信息,即多普勒信息。所以可将 V(k)经过一个滤波器滤波,然后来调整载波 VCO 以完成载波跟踪。

(2) 交叠离散傅立叶变换 AFC(ODAFC)

在交叉积 AFC 中的叉积过程可以用 2 点离散傅立叶变换(DFT)来实现。所以可以选择在动态跟踪时能较好地去除于扰的 N 值,使用 N 点 DFT 来实现鉴频,完成在高动态下载波的跟踪。但它输出的是频率估计的误差值,而非我们想要的频率实际值。

(3) 频率扩展卡尔曼滤波(EFKF)

设接收到的信号为:

$$\vec{r}(k) = \begin{bmatrix} r_I(k) \\ r_Q(k) \end{bmatrix} = \begin{bmatrix} A\sin(\theta(k)) \\ B\cos(\theta(k)) \end{bmatrix} + \vec{n}(k)$$
(25)

公式中符号的含义同 3.2 节。对上式进行叉积可得:

$$Z_{I}(k) = r_{I}(k)r_{Q}(k-1) - r_{Q}(k)r_{I}(k-1) = \sin[\Delta\theta(k)] + n'_{I}(k)$$
 (26)

$$Z_Q(k) = r_I(k)r_I(k-1) + r_Q(k)r_Q(k-1) = \cos[\Delta\theta(k)] + n'_I(k)$$
 (27)

式中:
$$n'_I(k) = n_I(k-1)\sin\theta(k) + n_Q(k)\cos\theta(k-1)$$

$$+ n_I(k-1)n_Q(k) - n_Q(k-1)\cos\theta(k) - n_I(k)\sin\theta(k-1) - n_I(k)n_Q(k-1)$$
 (28)

$$n'_{Q}(k) = n_{Q}(k-1)\sin\theta(k) + n_{Q}(k)\sin\theta(k-1) + n_{Q}(k)n_{Q}(k-1) + n_{Q}(k-1)\cos\theta(k)$$

$$+ n_{I}(k)\cos\theta(k-1) + n_{I}(k)n_{I}(k-1)$$
 (29)

$$\Delta\theta(k) = \theta(k) - \theta(k-1) \tag{30}$$

由(26)、(27)式可见经过叉积后,式中已没有相位信息,而只剩相位差信息 $\Delta\theta(k)$,而此信息中正含有我们所要的多普勒信息。针对叉积后的式子,我们列出扩展卡尔曼滤波的状态方程:

$$\Delta\theta(k) = I^T X(k); I^T = \{1, 0, \dots, 0\}$$
(31)

$$X(k+1) = \Phi X(k) + \overrightarrow{v}(k) \tag{32}$$

这里 v(k)为策动噪声矢量, Φ 为传输矩阵。针对 2 阶频率扩展卡尔曼滤波,我们可设状态矢量为:

$$X^{T}(k) = \begin{bmatrix} \Delta\theta(k) & \Delta\omega(k) \end{bmatrix}$$
 (33)

式中 $\Delta\omega(k)$ 为 $\Delta\theta(k)$ 的一阶导数。

而 2 阶频率扩展卡尔曼滤波的量测方程即为式 3-13:

$$Z(k) = \stackrel{\rightarrow}{h} [X(k)] + \stackrel{\rightarrow}{n}'(k) = \begin{bmatrix} \sin[\Delta\theta(k)] \\ \cos[\Delta\theta(k)] \end{bmatrix} + \stackrel{\rightarrow}{n}'(k)$$
 (34)

n'(k)为测量噪声矢量。将 $\Delta\theta(k)$, $\Delta\omega(k)$ 用泰勒展开可得:

$$\Phi = \begin{bmatrix} 1 & T_s \\ 0 & 1 \end{bmatrix} \tag{35}$$

$$Q = \sigma_y^2 T_s^2 \begin{bmatrix} T_s^2/3 & T_s/2 \\ T_s/2 & 1 \end{bmatrix}$$
 (36)

式中符号同 3.2 节。将上述代入扩展卡尔曼滤波公式(16) \sim (21)式,即可得到对 $\Delta\theta(k)$, $\Delta\omega(k)$ 的估计值,将此估计值经滤波后可调整载波 VCO 以跟踪信号。

上述三种自动频率控制环的实时性较好,结构较简单,但估计误差较大。

3.4 自适应最小均方算法(ALS)

该算法包括快速频率获取 ALS 和差分抽样快速频率获取 ALS,它们是由 JPL 实验室的 R. Kumar 提出的。下面分别予以介绍:

(1) 快速频率获取 ALS

设接收到的经过采样的同相和正交信号分别为:

$$I(k) = A\sin(\omega t_k + \Phi) + n_{ik} \qquad k = 1,2\cdots$$

$$Q(k) = A\cos(\omega t_k + \Phi) + n_{ik} \qquad (37)$$

这里 ω 是要估计的频率; t_k 为采样时间; n_k , n_{φ} 分别为零均值高斯矢量 n(k)的同相和正交分量; A 为信号幅度。

对上述两式分别进行泰勒展开可得:

$$\begin{bmatrix} I(K) \\ Q(k) \end{bmatrix} = \begin{bmatrix} A\sin\Phi A\cos\Phi \cdot \omega - \frac{A\sin\Phi}{2!}\omega^{2} \cdots \frac{A\sin\Phi}{(n-1)!}\omega^{n-1} \\ A\cos\Phi - A\sin\Phi \cdot \omega \frac{A\cos\Phi}{2!}\omega^{2} \cdots \frac{A\cos\Phi}{(n-1)!}\omega^{n-1} \end{bmatrix} \begin{bmatrix} 1 \\ t_{k} \\ t_{k}^{2} \\ \vdots \\ t_{1}^{n-1} \end{bmatrix} + \begin{bmatrix} n_{ik} \\ n_{ok} \end{bmatrix}$$
(38)

列出观测方程:

$$Z(k) = \Theta X(k) + n(k)$$
(39)

对比式(38)和式(39)可见: $Z^T(k) = [I(k) \ Q(k)]$ 是观测矩阵; $n^T(k) = [n_k n_{ck}]$ 是噪声矩阵; Θ 是未知参数矩阵, 其中含有我们所感兴趣的频率 ω ; $X^T(k) = [1 \ t_k \ t_k^2 \cdots \ t_k^{n-1}]$ 是观察状态矢量。根据最小均方法(即最小二乘法)我们可以从观测值 Z(k)得到含有待估计参数矩阵 Θ 的估计值 $\hat{\Phi}$ 。

$$\overset{\Delta}{\Theta} = \left(\sum_{j=1}^{N} X(j) X^{T}(j) \lambda^{N-j}\right)^{-1} \left(\sum_{j=1}^{N} X(j) Z^{T}(k) \lambda^{N-j}\right)$$
(40)

上式中的 λ 为一个 0-1 间的权系数。从 Θ 中我们可以得到 ω 的估计值 ω :

$$\overset{\Lambda}{\omega} = \{ (\overset{\Lambda}{\Theta}^{21})^2 + (\overset{\Lambda}{\Theta}^{22})^2 \}^{1/2} A^{-1}$$
 (41)

其中 $\overset{\Lambda}{\Theta}$ 为 $\overset{\Lambda}{\Theta}$ 矩阵中的第i,j 个元素。在得到了频率的估计值之后,将其经过滤波调整载波 VCO 即可完成载波跟踪。

(2) 差分抽样快速频率获取 ALS

该算法是对上述快速频率获取 ALS 算法的改进,两者的不同在于它不是 I(k), Q(k)进行泰勒展开,而是对其差分形式进行泰勒展开,如下式:

$$y(k) = I(k) - I(k-1) = \omega \Delta t_k Q(k-1) - \frac{1}{2!} \omega^2 (\Delta t_k)^2 I(k-1) + \dots + \eta(k)$$
(42)

$$z(k) = Q(k) - Q(k-1) = -\omega \Delta t_k I(k-1) - \frac{1}{2!} \omega^2 (\Delta t_k)^2 Q(k-1) + \dots + \xi(k)$$
(43)

式中 n(k), $\xi(k)$ 为高阶剩余量。得到上式后, 我们再列出观测方程:

$$Z(k) = \Theta X(k) + n(k) \tag{44}$$

剩下的步骤同快速频率获取 ALS 算法一样。

这两种算法的估计精度高,性能优良,但结构复杂。

以上是对高动态、低信噪比环境下的一些频率估计算法的说明。在此种环境下算法的估计性能可由两个参数表示,即估计无误情况下的载波噪声比的最低门限 CNR(dBHz)和在低信噪比环境下的估计误差 RMS(Hz)。

下面我们列表对上述算法进行比较:

表!						
算法	门限 (dBHz)	RMS误差(Hz)		相位	频率变化	复杂性
		23dBHz	26dBHz	估计	单估计	及米性
MLE	23.0	7.0	1.0	无	有	6
EKF	23.9	3.5	2.2	有	有	5
CPAFC	24.7	60.0	31.0	无	有	2
ODAFC	22.5	17.0	9.0	无	无	3
FEKF	22.5	36.0	22.5	无	有	4
DPLL	25.7	20.0	12.0	有	无	1

从上表可以看出,这些算法各有优缺点。针对高动态、低信噪比环境下的 GPS 数字接收机可设计为如下框图。在图中我们将多普勒频移的估计值经载波辅助反馈给解扩电路,以完成高动态环境下的信号解扩;将多普勒频移的估计值经滤波后控制载波 NCO 以完成高动态环境下的信号解调。

4 小结

上面我们讨论了 GPS 系统的构成、GPS 信号的结构及 GPS 接收的原理,然后重点讨论了高动态对 GPS 信号接收的影响及处理这一影响的一些方案和算法,并在算法之间作了比较。加强在高动态 GPS 接收方面的研究,必将对提高我国在导航定位技术方面有重要的作用。

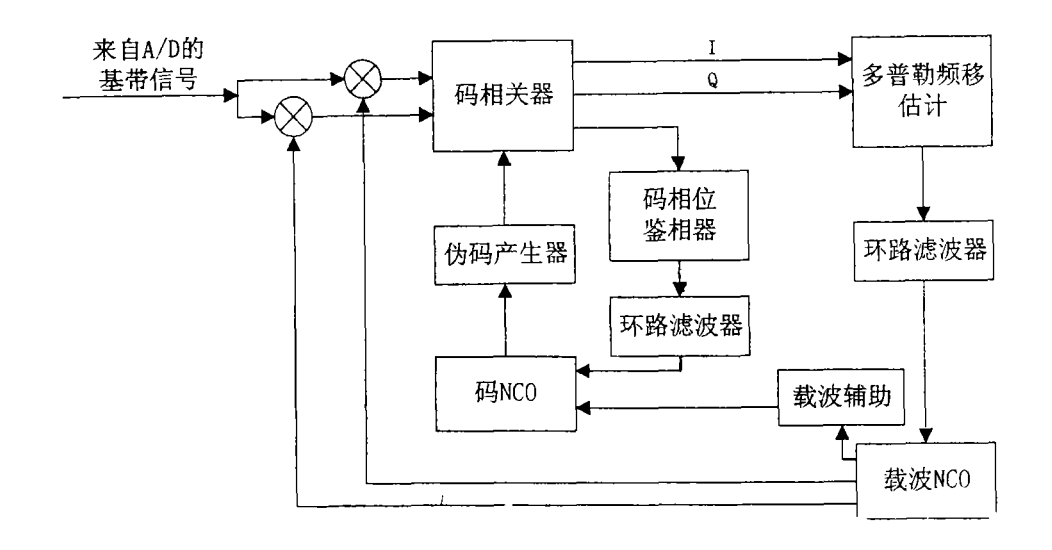


图 1

参考文献

- 1 孙礼,王银锋.GPS信号捕获与跟踪策略确定及实现. 北航学报 No.2 1999
- 2 李小民,刘晖,郑利龙.一种高动态环境 GPS 信号的跟踪方法及实现,遥测遥感.1999.3
- 3 Hurd W, Statman J I. High dynamic GPS receiver using maximum likelihood estimation and frequency tracking. IEEE Trans on AES Juiy, 1987
- 4 Natali F D. AFC tracking algorithms. IEEE Trans on COM Aug, 1984
- 5 Aguirre S, Hinedi S. Two novel automatic frequency tracking loops. IEEE Trans on AES Sep, 1989
- 6 kumar R. Fast frequency acquisition via adaptive least squares algorithm. In Proceedings of the International Telemetering Conference, Oct, 1986
- 7 kumar R. Differential sampling for fast frequency acquisition via adaptive least squares algorithm. In Proceedings of the International Telemetering Conference Oct, 1987
- 8 Zhuang W. Digital baseband processer for GPS receiver Modeling and Simulations. IEEE Trans on AES Oct, 1993
- 9 Hinedi S, statman J I. High dynamic GPS tracking. N89 20113